

# 강압형 스위치드-커패시터 DC-DC 컨버터의 동특성 해석 및 제어회로 설계

임원석, 최병조, 안태영\*

경북대학교 전자공학과, \*청주대학교 첨단공학부

## Dynamic Analysis and Control Design of a Step-Down Switched-Capacitor Dc-Dc Converter

Wonseok Lim, Byungcho Choi, Taeyoung Ahn\*

Kyungpook National University, \*Chongju University

### ABSTRACT

In this paper, dynamic analyses and control design of a step-down switched-capacitor dc-dc converter are presented. Open-loop dynamics of the converter are analyzed using the state-space averaging technique. A systematic control design method, that offers excellent closed-loop performance for the converter, is proposed. The analysis results and dynamic performance of the converter are verified using 18 W experimental converter that delivers a 5V/3.5A output from a 11~16 V input source.

### 1. 서 론

스위치드-커패시터 dc-dc 컨버터는 인덕터나 빈 압기와 같은 유도성 소자(magnetic components)를 사용하지 않고 반도체 스위치와 커패시터만을 이용하는 전력 변환장치이다. 따라서 컨버터의 크기와 무게를 줄일 수 있을 뿐만 아니라 전체 컨버터를 집적회로나 하이브리드 형태로 제작할 수 있는 장점이 있다.<sup>[1][2][3]</sup> 최근 스위치드-커패시터 컨버터의 회로 개발에는 연구가 집중되고 있으나, 컨버터의 동특성 해석과 제어회로 설계에 대한 연구는 제한적으로 이루어지고 있다.<sup>[2][3]</sup>

최근에 제안된 12V/5V 강압형 스위치드-커패시터 dc-dc 컨버터<sup>[1]</sup>를 체계적인 방법으로 동특성을 해석하고 그 결과를 이용하여 최적제어 회로를 설계하였다. 먼저 상태 공간 평준화 기법<sup>[5]</sup>으로 소신호 특성을 해석을 하고 컨버터의 제어 대 출력 전달함수를 유도하였다. 이를 바탕으로 폐루프 특성을 향상시킬 수 있는 제어기의 구조와 파라미터의 선정 방법을 제시하였다. 제시된 방법을 이용하여 실험용 컨버터의 제어회로를 설계하고, 실험용 컨버터의 측정 결과를 이론적인 결과와 비교하여 그 타당성을 보였다.

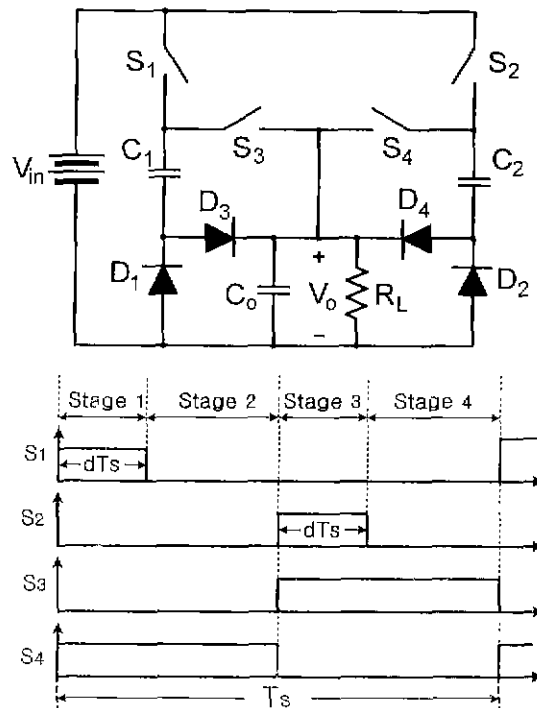


그림 1 강압형 스위치드-커패시터 dc-dc 컨버터

### 2. 스위치드-커패시터 DC-DC 컨버터의 동특성 해석 및 제어회로 설계

#### 1. 강압형 스위치드-커패시터 DC-DC 컨버터

그림 1은 강압형 스위치드-커패시터 dc-dc 컨버터의 전원단 회로와 각 스위치의 구동파형을 나타내었다.<sup>[1]</sup> 전원단 회로는 출력단을 중심으로 대칭적인 구조로 되어 있다.

Stage 1에서는  $S_1$ 이 편온되어 입력 전원으로부터  $S_1$ 과  $D_3$ 를 통해  $C_1$ 과  $C_0$ 에 에너지가 충전되며 동시에  $S_4$ 가 편온되어  $C_2$ 에 충전되었던 에너지가  $S_4$ 와  $D_2$ 를 통해 부하로 방전한다. Stage 2에서는  $S_4$ 만 편온되어  $C_2$ 에 저장되었던 에너지를 부하로

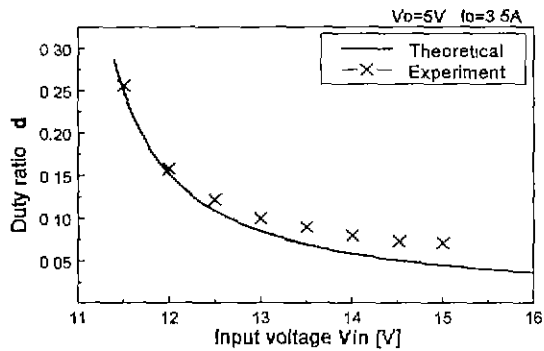


그림 2. 듀티비 대 입력전압

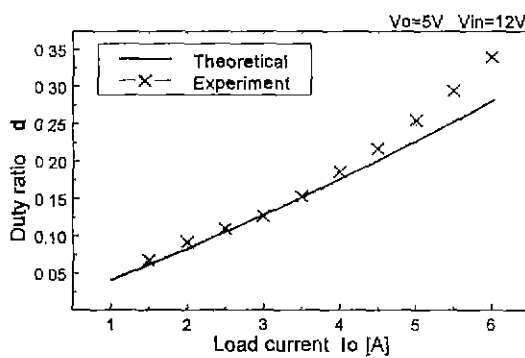


그림 3. 듀티비 대 부하전류

계속 방전한다. Stage 3에서는  $S_2$ 와  $S_3$ 가 터온되어  $C_2$ 와  $C_o$ 에 에너지가 충전되는 동시에  $C_1$ 에 저장되었던 에너지를 부하로 방전한다. Stage 4에서는  $S_2$ 만 터온되어  $C_1$ 에 저장되었던 에너지를 부하로 계속 방전한다. 커패시터( $C_1, C_2$ )에 에너지가 저장되는 시간( $dT_s$ )을 제어하면 부하에 전달되는 에너지를 조정할 수 있으며 이는  $dT_s$ 로 출력전압을 조정할 수 있다는 것을 의미한다.

## 2. 컨버터 해석

본 논문에서는 상태 공간 평준화 기법<sup>[5]</sup>을 이용하여 강압형 스위치드-커패시터 dc-dc 컨버터의 특성을 해석하였다. 컨버터의 각 stage에 따라 상태 공간 방정식을 아래와 같은 형태로 세울 수 있다.

$$\dot{x} = A_k x + B_k U \quad k=1, 2, 3, 4 \quad (1)$$

여기서

$$x = [v_{C1}, v_{C2}, v_{Co}]^T \quad (2)$$

$$U = [v_{in}, V_d]^T \quad (3)$$

이다.  $V_d$ 는 다이오드의 순방향 터온전압이다.

각 stage의 상태 공간 방정식을 듀티비에 따라 평준화(averaging)하면 다음과 같다.

$$\dot{x} = A_{av}x + B_{av}U \quad (4)$$

여기서

$$A_{av} = d(A_1 + A_3) + (0.5 - d)(A_2 + A_4) \quad (5)$$

$$B_{av} = d(B_1 + B_3) + (0.5 - d)(B_2 + B_4) \quad (6)$$

이다. 여기서  $A_{av}$ 와  $B_{av}$ 는 평준화 상태 행렬이고  $d$ 는 듀티비(Duty ratio)이다.

식(5)과 (6)을 이용하여  $A_{av}$ 와  $B_{av}$ 를 구하면 다음과 같이 표현된다.

$$A_{av} = \begin{bmatrix} -\frac{1}{C_1}(\frac{d}{R_1} + \frac{1}{2R_2}) & 0 & -\frac{1}{C_1}(\frac{d}{R_1} - \frac{1}{2R_2}) \\ 0 & -\frac{1}{C_2}(\frac{d}{R_1} + \frac{1}{2R_2}) & -\frac{1}{C_2}(\frac{d}{R_1} - \frac{1}{2R_2}) \\ -\frac{1}{C_o}(\frac{d}{R_1} - \frac{1}{2R_2}) & -\frac{1}{C_o}(\frac{d}{R_1} - \frac{1}{2R_2}) & -\frac{2}{C_o}(\frac{d}{R_1} + \frac{1}{2R_2} + \frac{1}{2R_L}) \end{bmatrix}$$

$$B_{av} = \begin{bmatrix} \frac{d}{R_1 C_1} & -\frac{1}{C_1}(\frac{d}{R_1} - \frac{1}{2R_2}) \\ \frac{d}{R_1 C_2} & -\frac{1}{C_2}(\frac{d}{R_1} - \frac{1}{2R_2}) \\ \frac{2d}{R_1 C_o} & -\frac{2}{C_o}(\frac{d}{R_1} + \frac{1}{2R_2}) \end{bmatrix}$$

$$R_1 = r_1 + r_c, \quad R_2 = r_2 + r_c$$

여기서  $r_1$ 은  $S_1$ 과  $S_2$ 의 터온저항을 나타내고,  $r_2$ 는  $S_3$ 와  $S_4$ 의 터온저항을 나타낸다.  $r_c$ 는 커패시터( $C_1, C_2$ )의 esr을 나타낸다. 출력 커패시터( $C_o$ )의 esr은 무시하였다.

### 직류 전압이들

정상상태에서는  $\dot{x} = 0$ 인 조건을 이용하여 출력전압을 아래와 같이 구할 수 있다.

$$V_o = \frac{V_m - 2V_d}{2 + \frac{1}{R_L}(\frac{r_c + r_2}{2} + \frac{r_c + r_1}{4d})} \quad (7)$$

식(7)은 입력 전압이나 부하가 변할 때 듀티비를 변화시켜서 출력전압을 랠류레이션(Regulation) 할 수 있음을 보여준다. 그림 2는 입력 전압이 변할 때 출력전압을 5V로 안정화시키기 위한 듀티비의 범위를 나타내었고, 그림 3은 부하전류가 변할 때 출력전압을 5V로 안정화시키기 위한 듀티비의 범위를

나타내었다.

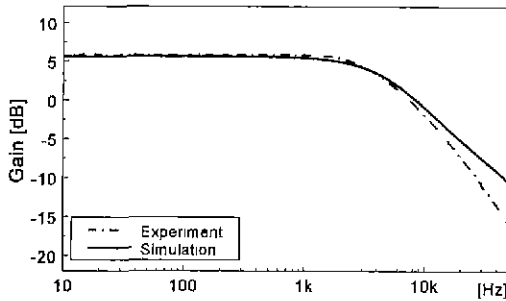


그림 4. 제어대 출력 전달함수

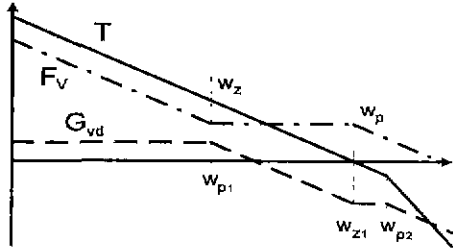


그림 5.  $T(s)$ ,  $F_v(s)$ ,  $G_{vd}(s)$  의 점근선

### 제어 대 출력 전달함수

식(4)를 직류성분이 교류성분보다 매우 크다는 가정하에 선형화 시키면 주파수 영역에서의 소신호 모델을 구할 수 있다.<sup>[5]</sup> 이와같이 유도한 소신호 모델로 부터 제어 대 출력 전달함수를 구하면 다음과 같다.

$$G_{vd}(s) = \frac{v_o(s)}{d(s)} = \frac{K(1+s/\omega_{z_1})}{(1+s/\omega_{p_1})(1+s/\omega_{p_2})} \quad (8)$$

여기서

$$K = \frac{\frac{2d}{r_1+r_c} + \frac{1}{r_2+r_c}}{\frac{4d}{r_2+r_c} + \frac{r_1+r_c}{2R_L(r_2+r_c)}} V^* \quad (9)$$

$$V^* = (V_m - V_d - V_{C1} - V_o) \quad (10)$$

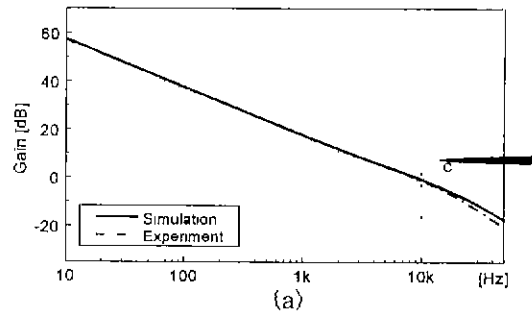
$$\omega_{z_1} = \frac{1}{C_1} \left( \frac{d}{r_1+r_c} + \frac{1}{2(r_2+r_c)} \right) \quad (11)$$

$$\omega_{p_1} = \frac{1}{2C_1} \left( \frac{2}{r_2+r_c} - \frac{1}{2R_L} \right) \quad (12)$$

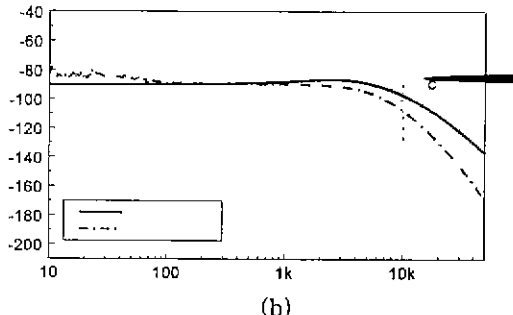
$$\omega_{p_2} = \frac{1}{2C_1} \left( \frac{4d}{r_1+r_c} + \frac{1}{2R_L} \right) \quad (13)$$

이다. 식 (8)을 구하는 과정에서 회로의 정상적인 동작을 위해  $C_1=C_2$ 로 설정하였고, 해석의 간략화를 위해  $C_o=2C_1$  으로 설정하였다. 또한 커패시터( $C_1$ ,  $C_2$ ) 양단의 전압이 같다( $V_{C1}=V_{C2}$ )는 조건과 일반적인 균사화를 통해 식 (8)를 유도하였다. 식 (8)과 실험용 컨버터를 임피던스 분석기(Impedance analyzer)를

이용하여 측정한 결과를 그림 4에 비교하였다.



(a)



(b)

그림 6. 루프 이득: (a)크기 (b)위상

### 3. 전압보상기 설계

전압보상기( $F_V$ )는 페루프 특성을 향상시킬 수 있도록 아래와 같은 구조로 설계한다.

$$F_V(s) = \frac{\omega_m(1+s/\omega_z)}{s(1+s/\omega_p)} \quad (14)$$

첫 번째 극점은 적분기로서 dc 레귤레이션을 위한 것이고 두 번째 극점( $\omega_p$ )은 제어 대 출력 전달함수의 영점( $\omega_z$ )에 위치시킨다. 영점( $\omega_z$ )은 제어 대 출력 전달함수의 첫 번째 극점( $\omega_{p1}$ )에 위치시킨다.  $\omega_m$ 은 루프 이득의 위상여유가 충분하도록 조정한다. 그림 5는 제어 대 출력 전달함수, 전압보상기의 전달함수 그리고 루프 이득의 점근선을 나타내었다.

### 4. 소신호 성능

전압보상기를 설계하면 컨버터의 전체 루프 이득( $T(s)$ )을 구할 수 있다.

$$T(s) = G_{vd}(s) \cdot F_m \cdot F_V(s) \quad (15)$$

여기서  $F_m$ 은 PWM이득을 나타낸다.

그림 6은 식(15)의 루프 이득과 실험용 컨버터를 이용하여 측정한 결과를 비교하였다. 컨버터의 루프 이득은 위상 여유가  $70^\circ$ 이고, crossover 주파수는 10 kHz로 높아 안정성과 우수한 동특성이 예

측된다.

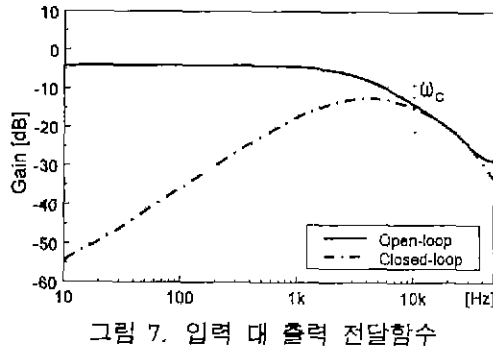


그림 7. 입력 대 출력 전달함수

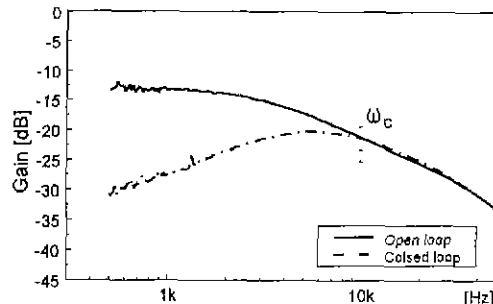


그림 8. 출력 임피던스

실험용 컨버터를 이용하여 측정한 입력 대 출력 전달함수와 출력 임피던스를 그림 7과 그림 8에 나타내었다. 개루프 상태에서의 입력 대 출력 전달함수와 출력 임피던스가 루프 이득의 crossover 주파수( $\omega_c$ )까지 충분히 감쇠되어 폐루프 특성이 우수함을 확인하였다.

### 3. 실험결과

12V/5V 실험용 스위치드-카페시터 dc-dc 컨버터를 구현하는데 사용한 회로소자는 다음과 같다.

- S<sub>1</sub>, S<sub>2</sub>: IRF9540 ( $R_{DS(on)}=0.2\Omega$  )
- S<sub>3</sub>, S<sub>4</sub>: IRF540 ( $R_{DS(on)}=0.054\Omega$  )
- D<sub>1</sub>~D<sub>4</sub>: 1N5822 ( $V_D(on)=0.3V$ )
- C<sub>1</sub>, C<sub>2</sub>: MLCC (50μF, esr=0.02Ω)
- C<sub>0</sub>: MLCC (100μF, esr=0.01Ω)

실험에 사용한 제어IC는 UC3825이고 스위칭 주파수는 100 kHz이다.

그림 9에 실험용 컨버터의 실험파형을 나타내었다. 입력전압과 부하전류가 변할 때 스위칭 신호의 드ュ티비가 변하면서 출력전압이 레귤레이션 되는 것을 확인할 수 있다. 출력전압이 레귤레이션 되는 범위는 입력전압이 11~16 V, 부하전류는 2~6 A이다. 스위칭 할 때 생기는 피킹(peaking)을 제외하면 출력 전압 파형이 안정함을 확인하였다.

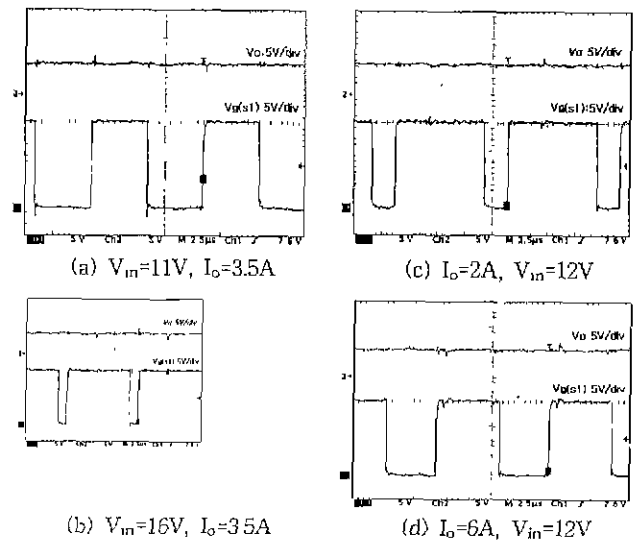


그림 9. 피드백 제어시  $V_o$ 와  $V_g(s1)$  파형

### 4. 결 론

본 논문에서는 12V/5V 강압형 스위치드-카페시터 dc-dc 컨버터의 동특성을 상태 공간 평준화 기법으로 해석하였고, 이를 바탕으로 폐루프 특성을 향상시킬 수 있는 제어회로를 설계하였다. 실험용 컨버터를 제작하여 그 측정 결과와 이론적인 결과를 비교하고, 제안한 제어회로 설계의 타당성과 폐루프 특성의 우수함을 확인하였다.

### 참 고 문 헌

- [1] G. Zhu, H. Wei, I. Batarseh and A. Ioinovici, "A new switched-capacitor dc-dc converter with improved line and load regulations," Proceedings of IEEE International Symposium on Circuits and Systems, ISCAS'99 vol. 5, pp. 234-237, 1999
- [2] S. Cheng, H. Chung and A. Ioinovici, "Inductorless DC-to-DC converter with high power density," IEEE Transaction on Industrial Electronics, vol. 41 pp 208-215, April 1994
- [3] F. Ueno, T. Inoue, T. Umeno and I. Oota, "Analysis and application of switched-capacitor converters by formulation, Part 2," Electronics and Communications in Japan, no. 73, pp. 91-103, 1990
- [4] K. D. T. Ngo and R. Webster, "Steady-state analysis and design of a switched-capacitor dc-dc converter," IEEE Trans. Aerosp. Electron. Syst. vol. 30, no. 1, Jan. 1994
- [5] R. D. Middlebrook and S. Cuk, "A general unified approach to modeling switching-converter power stage," in Proc. IEEE Power Electron. Spec. Conf. Rec., June 1976, pp.18-34